

ИЗМЕНЕНИЕ УПРУГИХ И НЕУПРУГИХ ХАРАКТЕРИСТИК ОТОЖЖЕННЫХ КРИСТАЛЛОВ АНТИМОНИДА ИНДИЯ

*П. А. Максимюк, А. В. Фомин, В. А. Глей,
А. П. Онанко, Р. И. Дячук, М. Ю. Кравецкий*

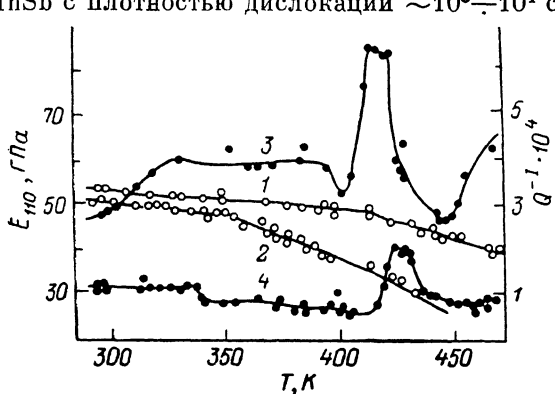
Важной причиной нестабильности приборов, работающих на основе узковолнового InSb, является наличие различных дефектов кристаллической структуры. Изменение дефектной структуры в процессе отжига должно способствовать стабилизации физических параметров монокристаллов InSb. Так как модуль упругости и внутреннее трение чувствительны к состоянию кристаллической матрицы, то целью настоящей работы было изучение их температурных зависимостей монокристаллов InSb с плотностью дислокаций $\sim 10^3 \div 10^4 \text{ см}^{-2}$, подвергнутых абразивной обработке с последующим отжигом.

Для измерения температурных зависимостей модуля упругости и внутреннего трения использовался метод изгибных колебаний образца на частоте $\sim 4 \text{ кГц}$ при знакопеременной деформации менее 10^{-5} , в вакууме $\sim 10^{-3} \text{ Па}$ [1]. В данной работе исследовались четыре образца Ш-образной формы [2], вырезанные из пластин InSb с ориентацией (111) [110] при помощи алмазной резки с последующей шлифовкой поверхности пастой M10.

Температурные зависимости модуля упругости E_{110} (1, 2) и внутреннего трения (3, 4) InSb ориентации [110] после отжига при 470 (1, 3) и 570 K (2, 4).

Температурные зависимости модуля упругости и внутреннего трения (см. рисунок) измерялись при охлаждении кристаллов после отжига при 470 и 570 K в течение 1.5 ч. Как видно из этого рисунка, после отжига при 470 K модуль вначале изменялся линейно, а свыше 410 K наблюдалось дополнительное уменьшение модуля упругости. После отжига при 570 K наклон линейного участка увеличился и дополнительное уменьшение модуля упругости возросло.

Линейный участок температурной зависимости упругого модуля объясняется влиянием ангармонизма кристаллической решетки с учетом квадратичных членов разложения свободной энергии по деформации. Для объяснения дополнительного уменьшения модуля недостаточно учета только электрон-фононного взаимодействия [3], так как оно вносит незначительный вклад $\sim 0.2\%$. Более значительный вклад могут вносить дислокации и точечные дефекты, возникающие при механической резке, шлифовке и полировке образцов InSb. Как известно [4], после отжига существенно уменьшается плотность вакансий и их комплексов, являющихся стопорами для дислокаций, что приводит к увеличению длины дислокационных сегментов, совершающих колебательное движение при знакопеременной деформации образца. При этом проявляется дислокационная деформация, вызывающая дополнительное уменьшение модуля упругости [5]. Подтверждением высказанного предположения является наличие обнаруженного релаксационного максимума внутреннего трения в области дополнительного уменьшения модуля.



Как видно из рисунка, высота максимума внутреннего трения при ~ 420 К уменьшается после более высокотемпературного отжига. Энергия активации релаксационного процесса, приводящего к возникновению пика, определенная в свою очередь по тангенсу угла наклона кривой максимума, перестроенной в координатах $\ln Q^{-1} - T^{-1}$ [1], была равна 0.8 ± 0.1 эВ, коррелируя с данными работы [6]. Анализ экспериментальных результатов позволяет предположить механизм возникновения максимума: при закопеременной деформации происходит переориентация и распад вакансационных комплексов. Уменьшение высоты максимума внутреннего трения объясняется отжигом вакансационных комплексов как центров рассеяния энергии механических колебаний. В свою очередь уменьшение количества вакансационных комплексов и распад их приводят к некоторому увеличению длины колеблющихся, неотожженных дислокационных отрезков, что и является причиной дополнительного уменьшения модуля упругости.

Л и т е р а т у р а

- [1] Криштал М. А., Головин С. А. Внутреннее трение и структура металлов. М.: Металлургия, 1976. 376 с.
- [2] Scott W. W., Macrone R. C. Rev. Sci. Instr., 1968, vol. 39, N 6, p. 821—823.
- [3] Максимюк П. А., Онанко А. П. ФТТ, 1983, т. 25, № 12, с. 3712—3713.
- [4] Бюрен В. Дефекты в кристаллах. М.: ИЛ, 1962. 389 с.
- [5] Никаноров С. П., Кардашев Б. К. Упругость и дислокационная неупругость кристаллов. М.: Наука, 1985. 253 с.
- [6] Вернер В. Д., Ковязин М. Г., Мильвидский В. Б. и др. ФТТ, 1977, т. 19, № 11, с. 3304—3309.

Институт полупроводников АН УССР
Киев

Поступило в Редакцию
16 февраля 1988 г.
В окончательной редакции
5 мая 1988 г.

УДК 538.11

Физика твердого тела, том 30, в. 9, 1988
Solid State Physics, vol. 30, N 9, 1988

ЭЛЕКТРОННО-ЯДЕРНЫЙ МАГНИТНЫЙ РЕЗОНАНС В ФЕРРОМАГНИТНЫХ ПЛЕНКАХ В ОБЛАСТИ НАСЫЩЕНИЯ ЯМР

Т. Х. Нургалиев, М. А. Шамсулдинов, В. В. Плавский

В области совмещения частот ЯМР ω_n и ФМР ω_e влияние неоднородностей поля магнитной анизотропии H_a и сверхтонкого поля (СТП) на характеристики электронно-ядерного магнитного резонанса (ЭЯМР) исследовано в случае линейного режима движения электронной М и ядерной μ намагниченностей [1, 2]. В данной работе исследуются теоретически характер насыщения линии поглощения ЭЯМР и влияние на него микроскопических неоднородностей СТП в магнитных пленках, намагниченных в своей плоскости магнитным полем $H \perp H_a$ [1, 3].

Вблизи основной частоты рассмотрим эффекты, обусловленные только насыщением ядерной системы, в переменном магнитном поле $2H_1 \cos \omega t$, направленном вдоль оси анизотропии. Для электронно-ядерной восприимчивости χ_{en} и продольной компоненты ядерной намагниченности μ_z , пренебрегая, как и в [4, 5], малым изменением μ_z со временем [8], можно получить систему уравнений

$$\chi_{en} = \chi_e \left\{ 1 + \chi_e \int A^2 \left(\chi_n \frac{\mu_z}{\mu} - \chi_n^0 \frac{\mu + \mu_z}{\mu} \right) g(A) dA \right\}^{-1}, \quad (1)$$